

# Milyen erős az erős kölcsönhatás?

---

Somogyi Gábor

MTA-DE Részecskefizikai Kutatócsoport  
Debreceni Egyetem

együtműködésben: Kardos Á., S. Kluth, Tulipánt Z., A. Verbytskyi

Eur. Phys. J. C77 (2017) no.11, 749 [arXiv:1708.04093 [hep-ph]]

Eur. Phys. J. C78 (2018) no.6, 498 [arXiv:1804.09146 [hep-ph]]

Magyar Fizikus Vándorgyűlés, Sopron, 2019. augusztus 22.

Az erős csatolás ( $\alpha_S$ ) a részecskefizikai standard modell egyik alapvető paramétere, a kvarkok és gluonok közötti kölcsönhatás erősségét méri. Értéke (egy adott energián) természeti állandó.

Precíz ismerete fontos az elemirész ütközések nagy pontosságú leírásához, így az LHC által mért adatok lehető legteljesebb kiaknázásához.

A legkevésbé pontosan ismert csatolás:  $\Delta\alpha_S(M_Z)/\alpha_S(M_Z) \sim 1\%$ .

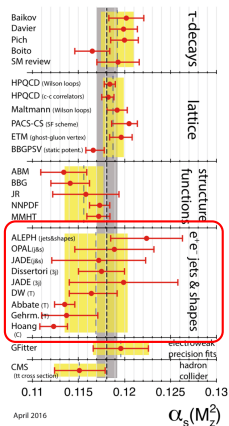
Csatolás	Jelölés	Érték	Hiba ( $\times 10^{-9}$ )
finomszerkezeti állandó	$\alpha_{EM}$	$7.2973525664(17) \times 10^{-3}$	0.23
Fermi állandó	$G_F$	$1.1663787(6) \times 10^{-5} \text{ GeV}^{-2}$	510
erős csatolás	$\alpha_S(M_Z)$	0.1181(11)	$9.3 \times 10^6$
gravitációs állandó	$G_N$	$6.67408(31) \times 10^{-11} \text{ m}^3 \text{ kg}^{-1} \text{ s}^{-2}$	$4.7 \times 10^4$

Értékét elméleti számolások mért adatokhoz történő illesztésével határozzuk meg.

Egy lehetőség: hadronikus végállapotok, pl. három-dzset keletkezés, vizsgálata elektron-pozitron szétsugárzásban.

# $\alpha_s(M_Z)$ : jelenlegi világtárg

$$\alpha_s(M_Z)_{\text{PDG2018}} = 0.1181 \pm 0.0011$$



Különböző jellegű mérések:  $\tau$ -bomlás, rács QCD,  $e^+e^-$  szétsugárzás, stb.

Tipikusan vizsgált mennyiségek  $e^+e^-$  szétsugárzásban: dzset ráták és az esemény topológiáját leíró alakváltozók (pl. döfet).

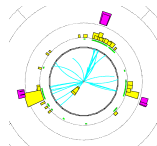
Jelenleg ezen mérések pontosítása kizárólag az elméleti leírás javításával érhető el, hiszen új mérések a közeljövőben nem várhatóak.

- Az elméleti leírás alapja a **perturbációszámítás**, ezért az eredmények pontosítása a **magasabb rendű** perturbatív korrekciók kiszámolását igényli.
- Az elméletben kvarkokkal és gluonokkal számolunk, de a detektorokban hadronokat észlelünk. Ezért fontos a parton-hadron átmenettel kapcsolatos **nem perturbatív korrekciók** pontos modellezése.

**Energia-energia korreláció (EEC):** a végállapotú részecskék impulzusai által bezárt szögek ( $\chi$ ) energiával súlyozott eloszlása

$$\frac{1}{\sigma_t} \frac{d\Sigma(\chi)}{d \cos \chi} \equiv \frac{1}{\sigma_t} \int \sum_{i,j} \frac{E_i E_j}{Q^2} d\sigma_{e^+e^- \rightarrow ij+\chi} \delta(\cos \chi - \cos \theta_{ij})$$

- részecskék ugyanabban a dzsetben:  
„elülső” tartomány, csúcs kis  $\chi$ -nél
- részecskék különböző dzsetekben:  
„két-dzset” tartomány, csúcs nagy  $\chi$ -nél



Kísérletileg alaposan vizsgált, számos mérés a LEP-en és elődein.

Precíz elméleti számolások állnak rendelkezésre:

- rögzített rendű (fixed order, f.o.) perturbatív számolás NNLO rendben

[Del Duca, Duhr, Kardos, SG, Trócsányi 2016]

- felösszegzett (resummed, res.) számolás NNLL rendben a két-dzset tartományban

[de Florian, Grazzini 2005]

Felhasználható az erős csatolás  $\alpha_S(M_Z)$  pontos meghatározására.

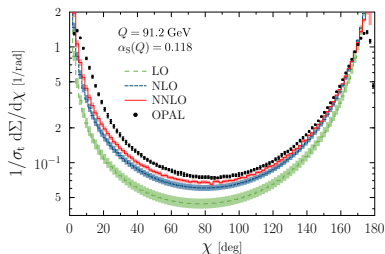
- Az EEC az egyik legrégebb óta mért mennyiség. [Basham, Brown, Ellis, Love 1978]
- Ennek ellenére elektron-pozitron ütközésben nem mérték a LEP1 után.
- Hadron ütközésben az ún. transzverzális EEC használható  $\alpha_S$  meghatározására, de az elméleti számolás itt NLO pontosságú. [ATLAS coll., Eur. Phys. J. C77 (2017) 872, Phys. Lett. B750 (2015) 427-447]

Kísérlet	$\sqrt{s}$ , GeV, adat	$\sqrt{s}$ , GeV, MC	Események
SLD	91.2(91.2)	91.2	60000
OPAL	91.2(91.2)	91.2	336247
OPAL	91.2(91.2)	91.2	128032
L3	91.2(91.2)	91.2	169700
DELPHI	91.2(91.2)	91.2	120600
TOPAZ	59.0 – 60.0(59.5)	59.5	540
TOPAZ	52.0 – 55.0(53.3)	53.3	745
TASSO	38.4 – 46.8(43.5)	43.5	6434
TASSO	32.0 – 35.2(34.0)	34.0	52118
PLUTO	34.6(34.6)	34.0	6964
JADE	29.0 – 36.0(34.0)	34.0	12719
CELLO	34.0(34.0)	34.0	2600
MARKII	29.0(29.0)	29.0	5024
MARKII	29.0(29.0)	29.0	13829
MAC	29.0(29.0)	29.0	65000
TASSO	21.0 – 23.0(22.0)	22.0	1913
JADE	22.0(22.0)	22.0	1399
CELLO	22.0(22.0)	22.0	2000
TASSO	12.4 – 14.4(14.0)	14.0	2704
JADE	14.0(14.0)	14.0	2112

Az EEC eloszlás a perturbációszámítás első három (LO, NLO, NNLO) rendjében

$$\left[ \frac{1}{\sigma_0} \frac{d\Sigma(\chi)}{d \cos \chi} \right]_{(f.o.)} = \frac{\alpha_S}{2\pi} \frac{dA(\chi)}{d \cos \chi} + \left( \frac{\alpha_S}{2\pi} \right)^2 \frac{dB(\chi)}{d \cos \chi} + \left( \frac{\alpha_S}{2\pi} \right)^3 \frac{dC(\chi)}{d \cos \chi} + \mathcal{O}(\alpha_S^4)$$

- A mennyiséget  $\alpha_S$  szerinti sorfejtésként állítjuk elő, a feladat a sorfejtési együtthatók meghatározása.
- Az NLO korrekció nagy (az LO skálabizonytalanságához képest)  $\Rightarrow$  ki kell számolni az NNLO korrekciót is.
- A magasabb rendű tagok figyelembevétele javítja a mérési adatokkal való egyezést.
- A rögzített rendű eredmény divergál mind az előlő mind a két-dzset tartományban  $\Rightarrow$  a divergens járulékokat fel kell összegezni.
- A mért adatok látni valóan eltérnek az NNLO számolástól  $\Rightarrow$  figyelembe kell venni hadronizációs korrekciókat is.



[Tulipánt, Kardos, SG  
Eur. Phys. J. C 77 (2017) no.11, 749]

## Kitérő: rögzített rendű perturbációs számítás

A standard modell nagyenergiás részecskeütközési folyamatok leírására történő alkalmazásának eszköze a **perturbációs számítás**: a vizsgált mennyiséget valamely „kis” paraméter – pl. QCD korrekciók esetén  $\alpha_S$  – szerinti sorfejtésként állítjuk elő.

$$\sigma = \alpha_S^p \left[ \sigma^{\text{LO}} + \alpha_S \sigma^{\text{NLO}} + \alpha_S^2 \sigma^{\text{NNLO}} + \dots \right]$$

A számolás pontossága **javítható** magasabb rendű tagok figyelembevételével.

- A vezető rendű (leading order, **LO**) eredmény a QCD-ben csupán nagyságrendi becslést ad (hiszen  $\alpha_S \sim 0.1$  nem igazán kicsi).
- Legalább az első korrekció (next-to-leading order, **NLO**) figyelembevétele szükséges a mennyiségek realiztikus becsléséhez.
- A második korrekció (next-to-next-to-leading order, **NNLO**) kiszámolása fontossá válik, ha **nagy pontosságú elméleti becslésre** van szükség.

## Kitérő: rögzített rendű perturbációszámítás

A standard modell nagyenergiás részecskeütközési folyamatok leírására történő alkalmazásának eszköze a **perturbációszámítás**: a vizsgált mennyiséget valamely „kis” paraméter – pl. QCD korrekciók esetén  $\alpha_S$  – szerinti sorfejtésként állítjuk elő.

$$\sigma = \alpha_S^p \left[ \sigma^{\text{LO}} + \alpha_S \sigma^{\text{NLO}} + \alpha_S^2 \sigma^{\text{NNLO}} + \dots \right]$$

A sor egyes tagjainak kiértékelése két alapvető problémát vet fel:

1. ki kell számolni a reakcióhoz tartozó kvantummechanikai átmeneti valószínűségi amplitúdót („mátrixelemeket”) a perturbatív korrekcióival együtt, pl.

$$\begin{array}{c} \text{---} \\ | \\ \text{---} \\ \downarrow \\ |\mathcal{M}_m^{(0)}| \end{array} + \left( \begin{array}{c} \text{---} \\ | \\ \text{---} \\ \downarrow \\ |\mathcal{M}_m^{(1)}| \end{array} + \begin{array}{c} \text{---} \\ | \\ \text{---} \\ \downarrow \\ |\mathcal{M}_{m+1}^{(0)}| \end{array} \right) + \left( \begin{array}{c} \text{---} \\ | \\ \text{---} \\ \downarrow \\ |\mathcal{M}_m^{(2)}| \end{array} + \begin{array}{c} \text{---} \\ | \\ \text{---} \\ \downarrow \\ |\mathcal{M}_{m+1}^{(1)}| \end{array} + \begin{array}{c} \text{---} \\ | \\ \text{---} \\ \downarrow \\ |\mathcal{M}_{m+2}^{(0)}| \end{array} \right) + \dots$$

2. az átmeneti valószínűséget összegezni és integrálni kell a különböző végállapot konfigurációkra, pl. a végállapot részecskék típusára és impulzusaira („fázisintegrálás”)



## Miért nehéz a magasabb rendű tagok kiszámolása?

A magasabb rendű perturbatív korrekciók olyan tagok összegei amelyek külön-külön **divergensek**  $d = 4$  dimenzióban! A divergenciákat a tagokban megjelenő „infravörös” szingularitások okozzák. (N.B.: a renormálás az ultraibolya divergenciák eltávolítását szolgálja.)

$$\sigma^{\text{NNLO}} = \int_m d\sigma_m^{(2)} + \int_{m+1} d\sigma_{m+1}^{(1)} + \int_{m+2} d\sigma_{m+2}^{(0)}$$

### Kinoshita-Lee-Nauenberg tétel

Elegendően inkluzív („infravörös és kollineáris biztonság”) mennyiségek esetén az infravörös szingularitások a perturbációszámítás adott rendjében a különböző járulékok között kiesnek  $\Rightarrow$  megfelelően definiált fizikai mennyiségekhez a teljes korrekció véges.

### Azonban

A különböző járulékokat általában csak numerikusan lehet kiértékelni. Ezért bármilyen konkrét mennyiség számszerű meghatározásához a közbenső lépésekben megjelenő divergenciákat konzisztens módon kezelni kell (pl. a „levonási módszerrel”).

A **levonási módszer alapgondolata**: alkalmasan megválasztott **közelítő hatáskeresztmetszetek** segítségével rendezzük át a szingularitásokat a teljes sugárzási korrekció egyes járulékai között olyan módon, hogy az átrendezés után minden járulék külön-külön is véges legyen!

## A CoLoRFuINNLO levonási módszer

**CoLoRFuINNLO**: **C**ompletely **L**ocal sub**R**actions for **F**ully differential **NNLO**

- Levonási tagok definíciója: QCD infravörös faktorizációs tételek alapján, egzakt fázistér faktorizációt felhasználva  $\Rightarrow$  a levonási tagok a fázistéren teljesen differenciálisak és lokálisak.

[Del Duca, SG, Trócsányi 2005-6]

- Az integrált levonási tagok infravörös pólusai analitikusan kiszámolhatóak, az infravörös divergenciák kiesése expliciten ellenőrizhető.

[Del Duca, Duhr, Kardos, SG, Szőr, Trócsányi, Tulipánt 2016]

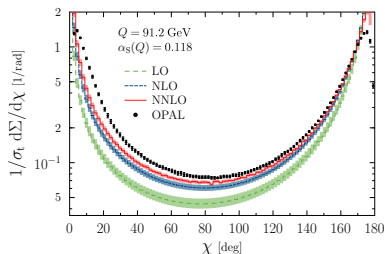
- A módszer folyamatfüggetlen módon implementálható numerikus kódban.

[Kardos, SG, Trócsányi 2016]

Az EEC eloszlás a perturbációszámítás első három (LO, NLO, NNLO) rendjében

$$\left[ \frac{1}{\sigma_0} \frac{d\Sigma(\chi)}{d \cos \chi} \right]_{(f.o.)} = \frac{\alpha_S}{2\pi} \frac{dA(\chi)}{d \cos \chi} + \left( \frac{\alpha_S}{2\pi} \right)^2 \frac{dB(\chi)}{d \cos \chi} + \left( \frac{\alpha_S}{2\pi} \right)^3 \frac{dC(\chi)}{d \cos \chi} + \mathcal{O}(\alpha_S^4)$$

- A mennyiséget  $\alpha_S$  szerinti sorfejtésként állítjuk elő, a feladat a sorfejtési együtthatók meghatározása.
- Az NLO korrekció nagy (az LO skálabizonytalanságához képest)  $\Rightarrow$  ki kell számolni az NNLO korrekciót is.
- A magasabb rendű tagok figyelembevétele javítja a mérési adatokkal való egyezést.
- A rögzített rendű eredmény divergál mind az elülső mind a két-dzset tartományban  $\Rightarrow$  a divergens járulékokat fel kell összegezni.
- A mért adatok látni valóan eltérnek az NNLO számolástól  $\Rightarrow$  figyelembe kell venni hadronizációs korrekciókat is.



[Tulipánt, Kardos, SG  
Eur. Phys. J. C 77 (2017) no.11, 749]

## Felösszegzés

A rögzített rendű eredmény a két-dzset határesetben  $\sim \alpha_S^n \ln^{2n-1} y$ ,  $y = \cos^2(\chi/2)$  szerint **divergál**, vagyis az  $n$ -ed rendű korrekció tartalmaz  $\{\ln^k y\}_{k=1}^{2n-1}$  alakú tagokat.

Amennyiben  $y$  kicsivé válik,  $\ln y$  felnő és elegendően kis  $y$ -ra  $\alpha_S^n \ln^{2n-1} y \sim 1$ ,  $\forall n$ , vagyis a rögzített rendű számolás (tehát az  $\alpha_S$  szerinti sorfejtés) érvényét veszti.

Az  $y \rightarrow 0$  határesetben a fizikailag helyes leíráshoz a logaritmus tagokat **fel kell összegezni** a perturbációs számítás összes rendjében.

- a felösszegzés szisztematikusan javítható az egyre alacsonyabb rendű logaritmus járulékok figyelembevételével: „vezető rendű logaritmus felösszegzés” (leading logs: LL), illetve magasabb logaritmus rendű korrekciók: NLL, NNLL, stb.

$$\frac{1}{\sigma_t} \frac{d\Sigma}{d \cos \chi} \sim \frac{1}{y} \left\{ \begin{array}{l} \alpha_S \left[ \log y + 1 \right] \quad \text{LO} \\ + \alpha_S^2 \left[ \log^3 y + \log^2 y + \log y + 1 \right] \quad \text{NLO} \\ + \alpha_S^3 \left[ \log^5 y + \log^4 y + \log^3 y + \log^2 y \dots \right] \quad \text{NNLO} \\ \vdots \\ \text{LL} \quad \quad \quad \text{NLL} \quad \quad \quad \text{NNLL} \end{array} \right.$$

## Felösszegzett számítás az EEC esetén

Az EEC esetén a két-dzset tartományban felnövő logaritmusos járulékok felösszegzése teljesen ismert NNLL rendben

[de Florian, Grazzini 2005]

$$\left[ \frac{1}{\sigma_t} \frac{d\Sigma(\chi)}{d \cos \chi} \right]_{(\text{res.})} = \frac{Q^2}{8} H(\alpha_S) \int_0^\infty db J_0(b Q \sqrt{y}) S(Q, b)$$

A logaritmusos járulékokat a Sudakov alaktényező tartalmazza

$$S(Q, b) = \exp \left\{ - \int_{b_0^2/b^2}^{Q^2} \frac{dq^2}{q^2} \left[ A(\alpha_S(q^2)) \ln \frac{Q^2}{q^2} + B(\alpha_S(q^2)) \right] \right\}$$

Az  $A(\alpha_S)$ ,  $B(\alpha_S)$  és  $H(\alpha_S)$  függvények nem tartalmaznak logaritmusos járulékokat, ezért ezeket ki lehet számolni perturbációs számítással ( $\alpha_S$  szerinti sorfejtéssel)

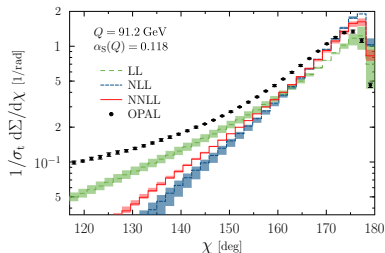
$$A(\alpha_S) = \sum_{n=1}^{\infty} \left( \frac{\alpha_S}{4\pi} \right)^n A^{(n)}, \quad B(\alpha_S) = \sum_{n=1}^{\infty} \left( \frac{\alpha_S}{4\pi} \right)^n B^{(n)}, \quad H(\alpha_S) = 1 + \sum_{n=1}^{\infty} \left( \frac{\alpha_S}{4\pi} \right)^n H^{(n)}$$

Az EEC esetén a két-dzset tartományban felövő logaritmusos járulékok felösszegzése teljesen ismert NNLL rendben

[de Florian, Grazzini 2005]

$$\left[ \frac{1}{\sigma_t} \frac{d\Sigma(\chi)}{d \cos \chi} \right]_{(\text{res.})} = \frac{Q^2}{8} H(\alpha_S) \int_0^\infty db J_0(b Q \sqrt{y}) S(Q, b)$$

- A felösszegzett eredmény helyesen írja le az adatok általános viselkedését a kis  $y$  tartományban (emlékeztetül  $y = \cos^2(\chi/2)$ ), vagyis kis  $y$  nagy  $\chi$  szögnek felel meg).
- Ugyanakkor közepes és kis szögekre jelentősen eltér a mért adatoktól.



[Tulipánt, Kardos, SG  
Eur. Phys. J. C 77 (2017) no.11, 749]

# A rögzített rendű és felösszegzett eredmények összeillesztése

A rögzített rendű és felösszegzett számítások egymás **kiegészítői**: a mért adatokat különböző kinematikai tartományokon írják le.

Ahhoz, hogy a teljes EEC eloszlást a lehető legszélesebb kinematikai tartományon helyesen írjuk le, a rögzített rendű és felösszegzett eredmények **összeillesztése** szükséges.

Az **NNLO+NNLL** rendben összeillesztett számolás tartalmazza az összes rendelkezésre álló perturbatív információt:

- az első három sor összes tagját (NNLO)
- továbbá az első három oszlop minden tagját (NNLL)
- az első három sor első három tagját csak egyszer szabad figyelembe venni

$$\frac{1}{\sigma_t} \frac{d\Sigma}{d \cos \chi} \sim \frac{1}{y} \left\{ \begin{array}{l} \alpha_S \left[ \begin{array}{cccc} \log y & + & 1 & \\ & & & \end{array} \right] \quad \text{LO} \\ + \alpha_S^2 \left[ \begin{array}{cccc} \log^3 y & + & \log^2 y & + & \log y & + & 1 & \\ & & & & & & & \end{array} \right] \quad \text{NLO} \\ + \alpha_S^3 \left[ \begin{array}{cccc} \log^5 y & + & \log^4 y & + & \log^3 y & + & \log^2 y & \dots \end{array} \right] \quad \text{NNLO} \\ \vdots \\ \text{LL} \quad \quad \quad \text{NLL} \quad \quad \quad \text{NNLL} \end{array} \right\}$$

A parton-hadron átmenettel kapcsolatos korrekciókat nem lehet perturbatív módon kezelni, ezeket egyéb módszerekkel kell megbecsülni.

Ebben a munkában a hadronizációs korrekciókat modern Monte Carlo eseménygenerátorok segítségével becsültük meg.

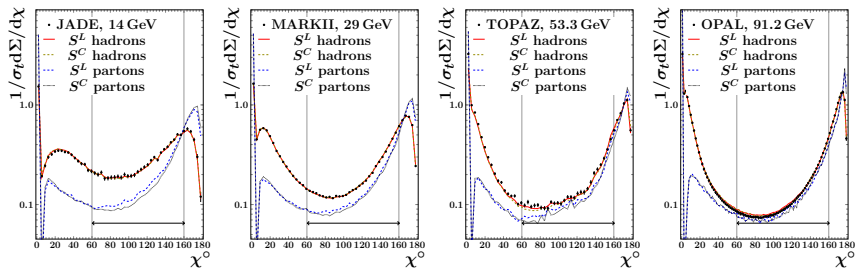
- Sherpa2.2.4-el szimulált  $e^+e^- \rightarrow 2, 3, 4, 5$  dzset események, a 2 dzset folyamat NLO pontossággal az AMEGIC, COMIX és GoSam programcsomagok felhasználásával, hadronizáció a Lund ( $S^L$ ) illetve klaszter ( $S^C$ ) modellel.
- Herwig7.1.1-el szimulált  $e^+e^- \rightarrow 2, 3, 4, 5$  dzset események, a 2 dzset folyamat NLO pontossággal a MadGraph5 és GoSam, programcsomagok felhasználásával, hadronizáció csak a klaszter ( $H^M$ ) modellel.

Hadronizációs korrekciók: a Monte Carlo szimulációkban kapott hadronikus illetve partonikus EEC eloszlások hányadosai.

A szimulációk segítségével megbecsülhetőek az adatok közötti statisztikus korrelációk, amelyeket a kísérletek nem közöltek.



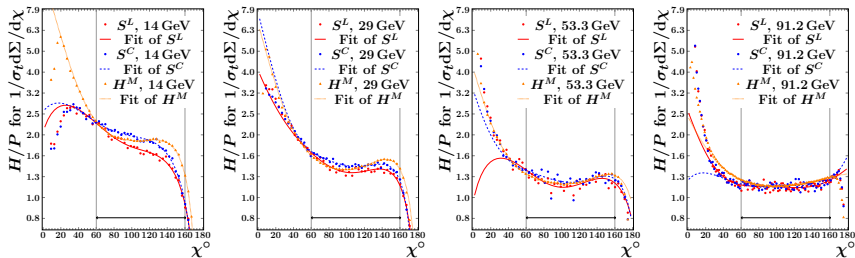
Monte Carlo szimulációval kapott partonikus (kék) és hadronikus (piros) EEC eloszlások különböző tömegközépponti energiákon:



[Kardos, Kluth, SG, Tulipánt, Verbytskyi  
Eur. Phys. J. C 78 (2018) no.6, 498]

- A hadronizációs korrekciók a tömegközépponti energiával  $\sim 1/Q$  szerint csökkennek, 91.2 GeV-en nagyságuk  $O(10)\%$ .

A hadronikus és partonikus eloszlások hányadosai:



[Kardos, Kluth, SG, Tulipánt, Verbytskyi  
Eur. Phys. J. C 78 (2018) no.6, 498]

- A statisztikus fluktuációk megszélidítése végett a hadronizációs korrekciókat sima függvényekkel illesztjük (ezek az illesztések csak a megjelölt tartományon belül érvényesek).

Az adatokat legjobban leíró  $\alpha_S$  érték megkereséséhez a MINUIT2 programcsomag segítségével minimalizáljuk az alábbi kifejezést:

$$\chi^2(\alpha_S) = \sum_{\text{kísérletek}} \chi^2(\alpha_S)_{\text{kísérlet}}$$

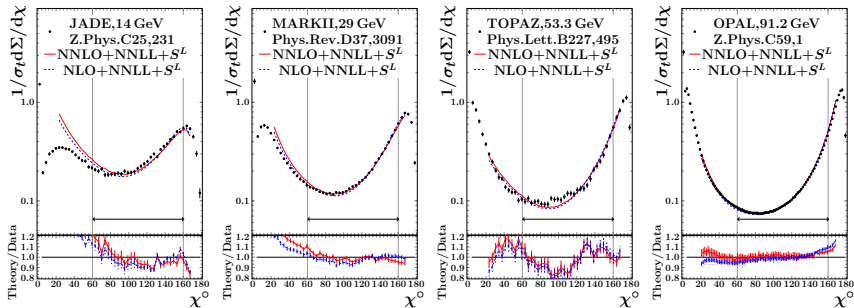
ahol az egyes kísérletekhez tartozó  $\chi^2(\alpha_S)$  értékeket külön-külön értékeltük ki minden esetben:

$$\chi^2(\alpha_S) = (\vec{D} - \vec{P}(\alpha_S))V^{-1}(\vec{D} - \vec{P}(\alpha_S))^T$$

- $\vec{D}$ : a mért adatpontokból alkotott vektor
- $\vec{P}(\alpha_S)$ : az elméleti eredményekből alkotott vektor
- $V$ : a  $\vec{D}$ -hez tartozó kovariancia mátrix

# Az erős csatolás megillesztése

Az illesztett NNLO+NNLL és NLO+NNLL pontosságú elméleti eredmények az  $S^L$  elrendezésben kapott hadronizációs korrekciókkal kiegészítve:



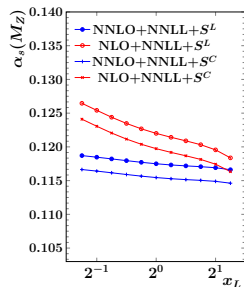
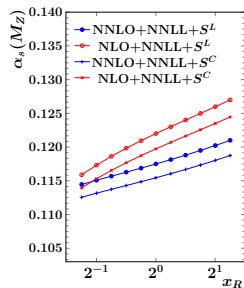
[Kardos, Kluth, SG, Tulipánt, Verbytskyi  
Eur. Phys. J. C 78 (2018) no.6, 498]

- Az illesztési tartomány,  $\chi \in [60^\circ, 160^\circ]$ , elkerüli azokat a szögeket, ahol akár az elméleti számolás, akár a kapott hadronizációs korrekciók nem megbízhatóak.
- A végeredmény érzéketlen az illesztési tartomány határainak  $\pm 5^\circ$ -al történő megváltoztatására.

Az illesztés bizonytalanságát az alábbiak szerint becsültük meg:

- a renormálási skála változtatása,  $x_R = \mu_R/Q \in [1/2, 2]$ : (*ren.*)
- a felösszegzési skála változtatása,  $x_L \in [1/2, 2]$ : (*res.*)
- a hadronizációs modell változtatása,  $S^L$  vs.  $S^C$ : (*hadr.*)
- a MINUIT2-ben implementált  $\chi^2 + 1$  követelmény által adott bizonytalanság: (*exp.*)

Az NNLO+NNLL pontosságú számolás esetén az  $x_R$ -től és  $x_L$ -től való függés jóval kisebb az NLO+NNLL pontosságú számoláshoz képest.



Az erős csatolás illesztett értéke NNLO+NNLL pontosságú elméleti eredmények és az  $S^L$  elrendezésben kapott hadronizációs korrekciók használata mellett:

$$\alpha_S(M_Z) = 0.11750 \pm 0.00018(\text{exp.}) \pm 0.00102(\text{hadr.}) \pm 0.00257(\text{ren.}) \pm 0.00078(\text{res.})$$
$$\alpha_S(M_Z) = 0.11750 \pm 0.00287(\text{comb.})$$

Amennyiben az elméleti eredmények csak NLO+NNLL pontosságúak (vagyis NNLO korrekciók nélkül), erős csatolás illesztett értéke:

$$\alpha_S(M_Z) = 0.12200 \pm 0.00023(\text{exp.}) \pm 0.00113(\text{hadr.}) \pm 0.00433(\text{ren.}) \pm 0.00293(\text{res.})$$
$$\alpha_S(M_Z) = 0.12200 \pm 0.00535(\text{comb.})$$

Az **NNLO járulékok figyelembevétele döntő fontosságú** a végeredmény bizonytalanságának csökkentése szempontjából: a bizonytalanság a felére csökken!

A kapott végeredmény **konzisztens** a világszerte a világátlaggal ( $\alpha_S(M_Z) = 0.1175 \pm 0.0029$  vs.  $\alpha_S(M_Z)_{\text{PDG2018}} = 0.1181 \pm 0.0011$ ), bizonytalansága **versenyképes** az egyéb elektron-pozitron szétsugárzásban végzett meghatározásokkal.

Bemutattam az erős csatolás egy új, NNLO+NNLL rendű elméleti számoláson alapuló meghatározását elektron-pozitron szétsugárzásban mért energia-energia korrelációból. A kapott végeredmény:

$$\alpha_S(M_Z) = 0.11750 \pm 0.00287$$

- A kapott érték konzisztens a világtalaggal. ( $\alpha_S(M_Z)_{\text{PDG2018}} = 0.1181 \pm 0.0011$ )
- Bizonytalansága (2.4% rel.) versenyképes egyéb  $e^+e^-$  szétsugárzásban végzett mérésekkel.

Az NNLO korrekció jelentősége:

- az EEC eloszlás alakjának jobb leírása
- a kinyert  $\alpha_S(M_Z)$  alacsonyabb értékek felé való elmozdítása
- az elméleti bizonytalanság felére csökkentése

Legújabb fejlemények az EEC elméleti leírásával kapcsolatban:

- a rögzített rendű NLO korrekció analitikus meghatározása

[Dixon, Luo, Shtabovenko, Yang, Zhu 2018]

- faktorizációs tétel levezetése az  $N^3\text{LL}$  logaritmikus rendű felösszegzéshez a két-dzset tartományban

[Moult, Zhu 2018]

- a rögzített rendű NNLO korrekció kiszámítása  $\mathcal{N} = 4$  sYM elméletben

[Henn, Sokatchev, Yan, Zhiboedov 2019]

- NNLL logaritmikus rendű felösszegzés az elülső (kis  $\chi$ ) tartományban

[Dixon, Moult, Zhu 2019]

Az erős kölcsönhatás új,  $N^3\text{LO} + \text{NNLL}$  rendű elméleti számoláson alapuló meghatározása elektron-positron szétsugárzásban mért két-dzset rátából, 1.1%-os rel. bizonytalansággal:

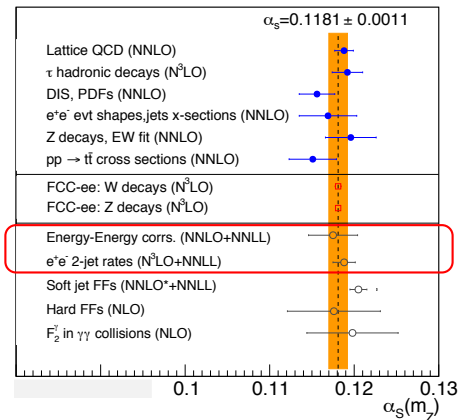
$$\alpha_S(M_Z) = 0.11881 \pm 0.00063(\text{exp.}) \pm 0.00101(\text{hadr.}) \pm 0.00045(\text{ren.}) \pm 0.00034(\text{res.})$$

$$\alpha_S(M_Z) = 0.11881 \pm 0.00131(\text{comb.})$$

[Verbytskyi, Banfi, Kardos, Monni, Kluth, SG, Ször, Trócsányi, Tulipánt, Zanderighi 2019]



Az új meghatározások tükrében folyamatban van az erős csatolás világtáblájának aktualizálása



[d'Enterria, Theory report on the 11th FCC-ee workshop, 2019]

Köszönöm a figyelmet!

## Szingularitások átrendezése levonással

Ki szeretnénk számolni  $\sigma$ -t  $\epsilon = 0$ -nál

$$\sigma = \int_0^1 d\sigma^R(x) + \sigma^V \quad \text{ahol} \quad \begin{aligned} d\sigma^R(x) &= dx x^{-1-\epsilon} R(x), & R(0) &= R_0 < \infty \\ \sigma^V &= R_0/\epsilon + V, & V &< \infty \end{aligned}$$

## Szingularitások átrendezése levonással

Ki szeretnénk számolni  $\sigma$ -t  $\epsilon = 0$ -nál

$$\sigma = \int_0^1 d\sigma^R(x) + \sigma^V \quad \text{ahol} \quad \begin{aligned} d\sigma^R(x) &= dx x^{-1-\epsilon} R(x), & R(0) &= R_0 < \infty \\ \sigma^V &= R_0/\epsilon + V, & V &< \infty \end{aligned}$$

1. Definiáljunk egy levonási ellentagot,  $d\sigma^{R,A}(x)$ -t, amelynek a szingularitás szerkezete megegyezik  $d\sigma^R(x)$  szingularitás szerkezetével:

$$d\sigma^{R,A}(x) = dx x^{-1-\epsilon} R_0$$

## Singularitások átrendezése levonással

Ki szeretnénk számolni  $\sigma$ -t  $\epsilon = 0$ -nál

$$\sigma = \int_0^1 d\sigma^R(x) + \sigma^V \quad \text{ahol} \quad \begin{aligned} d\sigma^R(x) &= dx x^{-1-\epsilon} R(x), & R(0) &= R_0 < \infty \\ \sigma^V &= R_0/\epsilon + V, & V &< \infty \end{aligned}$$

1. Definiáljunk egy levonási ellentagot,  $d\sigma^{R,A}(x)$ -t, amelynek a szingularitás szerkezete megegyezik  $d\sigma^R(x)$  szingularitás szerkezetével:

$$d\sigma^{R,A}(x) = dx x^{-1-\epsilon} R_0$$

2. Használjuk az ellentagot a szingularitás átrendezésére:

$$\begin{aligned} \sigma &= \int_0^1 \left[ d\sigma^R(x) - d\sigma^{R,A}(x) \right]_{\epsilon=0} + \left[ \sigma^V + \int_0^1 d\sigma^{R,A}(x) \right]_{\epsilon=0} \\ &= \int_0^1 dx \left[ \frac{R(x) - R_0}{x^{1+\epsilon}} \right]_{\epsilon=0} + \left[ \frac{R_0}{\epsilon} + V - \frac{R_0}{\epsilon} \right]_{\epsilon=0} \\ &= \int_0^1 dx \frac{R(x) - R_0}{x} + V \end{aligned}$$

# Singularitások átrendezése levonással

Ki szeretnénk számolni  $\sigma$ -t  $\epsilon = 0$ -nál

$$\sigma = \int_0^1 d\sigma^R(x) + \sigma^V \quad \text{ahol} \quad \begin{aligned} d\sigma^R(x) &= dx x^{-1-\epsilon} R(x), & R(0) &= R_0 < \infty \\ \sigma^V &= R_0/\epsilon + V, & V &< \infty \end{aligned}$$

- Definiáljunk egy levonási ellentagot,  $d\sigma^{R,A}(x)$ -t, amelynek a szingularitás szerkezete megegyezik  $d\sigma^R(x)$  szingularitás szerkezetével:

$$d\sigma^{R,A}(x) = dx x^{-1-\epsilon} R_0$$

- Használjuk az ellentagot a szingularitás átrendezésére:

$$\begin{aligned} \sigma &= \int_0^1 \left[ d\sigma^R(x) - d\sigma^{R,A}(x) \right]_{\epsilon=0} + \left[ \sigma^V + \int_0^1 d\sigma^{R,A}(x) \right]_{\epsilon=0} \\ &= \int_0^1 dx \left[ \frac{R(x) - R_0}{x^{1+\epsilon}} \right]_{\epsilon=0} + \left[ \frac{R_0}{\epsilon} + V - \frac{R_0}{\epsilon} \right]_{\epsilon=0} \\ &= \int_0^1 dx \frac{R(x) - R_0}{x} + V \end{aligned}$$

- Az utolsó sorban mindkét tag véges, numerikusan kiszámítható.